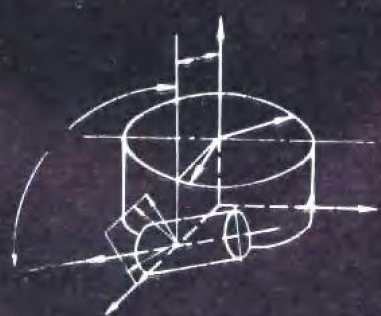


# 刀具 设计原理与计算

李儒荀 编著



江苏科学技术出版社

# 刀具设计原理与计算

李儒荀 编著

江苏科学技术出版社

## 刀具设计原理与计算

李儒荀 编著

---

出版：江苏科学技术出版社

发行：江苏省新华书店

印刷：淮阴新华印刷厂

---

开本 787×1092 毫米 1/16 印张 44.25 插页 2 字数 1,081,000

1985年5月第1版 1985年5月第1次印刷

印数 1—5,700 册

---

书号：15169·154 定价：8.30 元

责任编辑 孙广能

特约编辑 戴伯泉 匡 盛

## 前　　言

在机械加工切削过程中，刀具起着决定性的作用。刀具设计的水平，直接反映出机械加工的水平。随着生产的发展，无论在加工的复杂性、精度方面，还是在生产率和工件质量等方面，人们对刀具提出了越来越高的要求。因此，广大的刀具设计人员，尤其在厂、矿工作的刀具设计人员，现在迫切要求学习刀具设计的基本理论，迫切要求掌握一些先进的、新型的以及常用非标准刀具的设计计算方法。为满足这些同志的要求，笔者在有关部门的大力支持协助下，编写了这本书，供他们参考。

全书分为两部分。第一篇叙述刀具设计的基本理论，主要采用矢量分析的方法，阐明刀具与工件之间的造型原理，反映刀具切削性能的主要参数，刀具结构设计、材料选择的一般原则等，使读者对刀具设计工作有较全面的了解，并为研究和设计更新、更精密、更复杂的刀具打下一定的理论基础。第二篇主要讲述一些新型的和常用非标准刀具设计计算的特殊规律，以及它们的设计计算程序，并举有实例加以说明。无论在内容取材上，还是在深度和实践性方面，都比目前一般教科书有所提高和加强。全书有一定系统，但前后两篇又各自独立成章。对于第一篇比较生疏或数学基础比较差的读者，如果阅读这部分内容有困难，可暂时放过，直接学习第二篇。读者根据书中所编程序，一般也能设计出所要求的刀具来。

根据国内外刀具专业的发展趋势，书中的名词、术语、定义及符号基本上采用了国际标准组织（ISO）的规定。“ISO”中没有规定的，则根据我国沿用习惯及国内外有关著作自行酌情选用的，因此没有任何约束力。

本书的编写，得到了无锡轻工业学院金工教研组、轻机教研组，无锡探矿机械厂职工大学及技术组，无锡量具刀具厂技术组，无锡机床厂情报室、工具科及职工大学，以及周丽弘、李巍等同志们热情支持和大力帮助。无锡轻工业学院蔡在煊老师认真审阅了全稿。书中插图由无锡探矿机械厂技术员徐凤英、徐金妹等同志协助描绘。在此，笔者表示衷心的感谢。

本书主要提供给厂、矿刀具设计人员阅读，也可作为高等工业院校、中等工业院校、职工大学、电视大学及业余大学的教学参考书。

欢迎读者批评指正。

李儒荀

1981年10月15日　无锡

## 常 用

## 符 号

$\vec{A}$  空间固定坐标系，它的三根坐标轴为  $a_1, a_2, a_3$ ；或表示点在坐标系  $\vec{A}$  中的矢径，它的三个投影为  $(a_1, a_2, a_3)$ 。

$A$  通过基点的横截面内，铣刀轴心到前刀面的距离；拉刀粗切余量。

$A_i$  通过刃形  $i$  点处的横截面内，铣刀轴心到前刀面的距离。

$A$  拉刀拉削余量（双面）；摆线轮传动偏心距。

$A_1$  拉刀拉削余量（单面）。

$A_z$  拉刀精切余量。

$A_{\min}$  拉刀最小横截面积。

$A_K$  花键拉刀倒角齿直径变化量。

$A_y$  花键拉刀圆孔齿直径变化量。

$A_w$  花键拉刀花键齿直径变化量。

$A_3$  花键拉刀圆孔粗切齿直径变化量。

$A_5$  花键拉刀花键粗切齿直径变化量。

$A_s$  切削面积。

$A_a$  后刀面。

$A_r$  前刀面。

$a$  中心距；可转位车刀断屑槽宽。

$a_o$  切削厚度。

$a_y$  切削宽度；拉刀刃段长度。

$a_p$  切削深度；工件轴向截面截形深度。

$a_{pi}$  刀刃第  $i$  点处切削深度；工件计算点( $i$ )处轴向截形深度。

$a_0$  切屑厚度。

$a_f$  每齿进给量；拉刀齿升量。

$a_{fz}$  拉刀精切齿齿升量。

$a_{GM}$  拉刀极限拉削厚度。

$a_{FM}$  拉刀极限齿升量。

$a_{P_{max}}$  工件最大截形深度。

$a_{f_{max}}$  拉刀最大齿升量。

$a^{i_1}, a^{i_2}, a^{i_3}$  第  $i$  点在  $\vec{A}$  坐标系中的坐标(投影)。

$B$  刀体(刀杆)宽或厚；花键孔键槽宽度。

$B_0$  成形车刀厚度。

$b$  转位车刀断屑槽深；键槽宽度；花键拉刀花键齿键宽(主刃宽)。

$b_r$  前刀面上棱带宽。

$b_a$  后刀面上棱带宽。

$b_e$  过渡刃宽。

$b'$  修光刃宽。

$b_{20}$  刀具触角宽度。

$b_0$  插齿刀的原始距离，即原始截面至前刀面的距离。

$b_k$  退刀槽宽；分屑槽宽。

$c$  花键轴的倒角尺寸(倒棱长)；齿轮传动的径向间隙。

$C_0$  插齿刀齿底间隙。

$C_{12}$  齿轮1与齿轮2传动的径向间隙。

$C_k$  拉刀弧形分屑槽深。

$C_P$  拉削力计算公式中与工件材料性质有关的常数。

$D_1$  轴台直径。

$D_s$  砂轮直径。

$D_2$  拉刀颈部直径。

$D_4$  拉刀前导部分直径。

$D_7$  拉刀后导部分直径。

$D_P$  工件计算外径。

$D_0$  拉前孔刀具直径。

$D_n$  拉刀最后一个压光齿直径。

$D_{o_{max}}$  拉刀压光齿最大直径。

$d$  刀具内孔直径；转位车刀内切圆直径。

$d_0$  一般刀具外径；齿轮刀具分圆直径；拉刀齿的直径。

$d_s$  占心直径。

$d_w$  工件待加工面直径；拉前孔(预制孔)直径公称数值。

$d_{w_{min}}$  拉前孔最小直径。

$d_m$  已加工表面直径；拉后孔的直径。

$d_{\max}$	工件拉后孔最大直径。	片刃带宽度。
$d_M$	刃磨控制圆直径。	$\vec{f}_z$ 合成走刀量矢量。
$d_{\min}$	工件成形面最小直径。	$\vec{f}$ 走刀量矢量 $\vec{f}_z$ 在静态基面上的投影矢量。
$d_o$	工件外径。	$\vec{f}_e$ 走刀量矢量 $\vec{f}_z$ 在动态基面上的投影矢量。
$d_i$	工件内径；工件根圆直径。	$f_j$ 刀尖挠度。
$d_b$	工件基圆直径。	$[f]$ 许用最大挠度。
$d_{ao}$	齿轮刀具外径。	$G$ 水平面内安装角。
$d_{fi}$	齿轮刀具内径；刀具根圆直径。	$g$ 接触长度；重合长度；过渡曲线高度；拉刀齿背宽度；拉刀弧形分屑槽宽度。
$d_{bo}$	齿轮刀具基圆直径。	
$d_P$	工件计算内径；量棒直径。	
$d_{og}$	拉刀校准齿直径。	
$d_{o1}$	拉刀第一齿直径。	$H$ 垂直面内（正视方向）安装角；车刀高；容屑槽深度；摆线轮转臂。
$d'$	拉刀第一齿危险截面直径。	$\vec{H}$ 后刀面矢量。
$d_{on}$	拉刀最后一粗切齿直径。	$H_0$ 成形车刀高。
$d_2$	拉刀最后一个倒角齿的直径。	$h$ 车刀刀尖高度；成形铣刀端面刀齿铲背量；拉刀容屑槽深度；矩形花键轴半齿宽。
$d_3$	花健拉刀中圆孔校准齿直径。	$h_{ao}$ 刀具齿顶高。
$d_4$	花健拉刀花健齿第一切削齿直径。	$h_a$ 工件（齿轮）齿顶高。
$d_g$	拉刀倒角齿内径。	$h_{ai}$ 齿顶高系数。
$d_{ki}$	拉刀第一倒角齿直径。	$h^*$ 齿高系数。
$d_{y1}$	拉刀第一圆孔齿直径。	$h_t^*$ 端面齿高系数。
$E$	材料弹性模数。	$h_{an}$ 刀具法向齿顶高。
$\vec{e}_{x1}, \vec{e}_{x2}, \vec{e}_{x3}$	分别为 $x_1, x_2, x_3$ 轴上的单位方向矢量。	$h_{yn}$ 刀具法向任一点齿高。
$\vec{e}_{y1}, \vec{e}_{y2}, \vec{e}_{y3}$	分别为 $y_1, y_2, y_3$ 轴上的单位方向矢量。	$h_0$ 圆体成形车刀中心到前刀面的距离；成形车刀最大刃形深度估计值。
$\vec{e}_{a1}, \vec{e}_{a2}, \vec{e}_{a3}$	分别为 $a_1, a_2, a_3$ 轴上的单位方向矢量。	$h_f$ 工件（齿轮）齿根高。
$e$	偏心距；工件齿槽宽度；深割槽宽度。	$h_{f0}$ 齿轮刀具齿根高。
$e_0$	刀具齿槽宽度。	$h_a$ 工件（齿轮）全齿高。
$e_x$	齿轮轴向分圆齿槽宽。	$h_{so}$ 齿轮刀具全齿高。
$e_z$	齿轮端面分圆齿槽宽。	$h'$ 工件工作齿高。
$F_x$	轴向力（走刀抗力）。	$h_{20}$ 刀具齿角（触角）高度。
$F_y$	径向力（吃刀抗力）。	$h_{a0}$ 滚刀齿顶倒角开始点高度。
$F_z$	主切削力。	$h_{y0}$ 滚刀测量齿高（任一点齿高）。
$F_r$	切削合力。	$h_{t0}$ 刀具齿间凹槽深度。
$F_{xy}$	水平分力（ $F_x$ 及 $F_y$ 的合力）。	$h_z$ 退刀槽深；拉刀分屑槽深度。
$F_{z\max}$	最大拉削力。	$h_{y0}$ 刀具任一点弦齿高。
$F_z^1$	单位切削刃上的切削力。	$h_{\max}$ 拉刀刚度允许的最大槽深。
$[F_1]$	拉刀第一齿强度允许拉力。	$h_{\min}$ 拉力最小容屑槽深度。
$[F_b]$	拉刀柄部最大允许拉力。	$i$ 传动比。
$f_z$	每转或每行程进给量（走刀量）；转位车刀刀	$\text{inva } \alpha$ 角的渐开线函数。

$J$	断面惯性矩。	$m_n$	法向模数。
$K$	斜率; 圆柱刀齿第一铲背量; 拉刀容屑系数。	$m_x$	轴向模数
$\vec{K}$	母线的切线矢量。	$N$	滚刀每转的铲削次数。
$K_1$	圆柱齿的第二铲背量。	$\vec{N}$	切削平面的法线矢量。
$K_2$	斜向铲背量。	$\vec{N}_d$	动态切削平面的法线矢量。
$K_3$	齿顶铲背量。	$NB$	刀具径向磨损量。
$K_0$	铲背当量。		
$[K]$	最小(许用)容屑系数。	$P$	工件螺旋面螺旋参数。
$k$	曲率; 斜率; 常系数; 修正系数。	$P_0$	刀具螺旋面螺旋参数。
$k_1$	原始刀具面截形接触点处曲率。	$P_k$	前刀面(容屑槽)螺旋参数。
$k_2$	工件截形接触点处曲率。	$P_c$	铲背面螺旋参数。
$k_3$	刀具截形或齿形的曲率。	$\vec{P}$	切削刃切线矢量。
$k_D$	相对曲率(诱导曲率)。	$p$	单位切削面积上的切削力。
$L$	拉削长度。	$\vec{P}$	切削刃切线矢量 $\vec{P}$ 在基面上的投影矢量。
$L_0$	刀具总长(或总宽)。	$p_y$	工件任意圆周上齿距。
$L_{ci}$	成形铣刀前刀面刃形计算点( $i$ )处宽度。	$p_b$	工件基圆齿距。
$I_{Pi}$	成形铣刀轴向刃形计算点( $i$ )处刃形宽(铲刀刃形宽度)。	$F_t$	工件端面分圆齿距。
$L_e$	拉刀工作部分长。	$P_z$	工件螺旋面导程。滚刀基本蜗杆导程。
$l$	转位车刀刀片的边长; 刀杆外悬伸长度; 拉刀粗切部份长。	$P_{z0}$	刀具螺旋面导程。
$l_1$	成形车刀所加工的工件锥面段宽; 轴台长度; 刀体内孔放螺帽部分长。	$p_o$	刀具分圆周齿距。刀具圆周齿距。
$l_3$	刀体内孔磨削部分长; 拉刀过渡锥长度。	$F_{vn}$	工件任意直径( $dy$ )圆柱上的法向齿距。
$l_4$	拉刀前导部分的长度。	$P_{vn}$	工件法向基圆齿距。
$l_7$	拉刀后导部分的长度。	$P_{zo}$	刀具分圆轴向齿距; 刀具轴向齿距。
$l_8$	拉刀尾部或压光环长。	$P_{zo0}$	刀具分圆法向齿距; 刀具法向齿距。
$l_{oi}$	刀具刃形计算点( $i$ )处宽度。	$P_{z0R}$	刀具右侧面导程。
$l_4$	工件截形计算点( $i$ )处宽度。	$P_{z0L}$	刀具左侧面导程。
$l_a$	拉刀柄部长度。	$P_{zo2}$	拉刀精切齿齿距。
$l_b$	拉刀柄端面到第一刀齿的长度。	$P_{zoa}$	拉刀校准齿齿距。
$l_f$	拉床法兰盘厚度; 切屑与前刀面接触长度。	$P_{2K}$	刃沟导程。
$l_n$	断(卷)屑台离切削刀的距离。	$\vec{Q}$	前刀面矢量。
$l_c$	拉床卡头与床壁间间隙。	$Q$	拉床名义拉力。
$l_z$	拉刀精切部分长。	$[Q]$	拉床许用拉力。
$l_g$	拉刀校准部分长。	$\vec{R}$	刚体(或点)在定标 $A$ 中的矢径; 刀截面与基面的交线矢量。
$l_k$	拉刀倒角齿部分长。	$R$	拉刀容屑槽齿背圆弧半径。
$l_y$	拉刀圆孔齿部分长。	$R'$	工件节圆半径。
$l_w$	工件长度或孔的深度。	$\vec{R}_1$	动标 $X$ 的原点在定标 $A$ 中的矢径。
$M$	弯矩; 拉刀齿测量尺寸; 切削扭矩。	$R_0$	拟合圆弧半径。
$m$	模数; 工件轴心到齿形任一点法线的距离; 拉刀粗切齿齿组数。	$\vec{R}_e$	刀截面与动态基面的交线矢量。
$m_t$	端面模数。	$R_n$	断(卷)屑槽底圆弧半径。
		$R_{ti}$	成形铣刀刃形第 $i$ 点处半径。

$R_1$ (或 $R_2$ )	工件齿顶圆弧半径。	$S_{\alpha}$	刀具轴向分圆齿厚。
$R_2$	针轮分布圆半径。	$S_n$	工件法向分圆齿厚。
$R_y$	插齿刀齿顶圆弧中心所在圆半径。	$S_{n\alpha}$	刀具法向分圆齿厚。
$R_{\max}$	拉刀弧形槽最大半径。	$\bar{S}_{\alpha}$	插齿刀齿顶弦齿厚。
$R_{z\max}$	砂轮最大半径。	$\Delta S_x$	轴向齿厚减薄量。
$r$	半径; 转位车刀刀尖圆弧半径; 刀具内孔半径; 拉刀槽底圆弧半径。	$\Delta S_n$	法向齿厚减薄量。
$\vec{r}_1$	刚体(或点)在 $\vec{y}$ 坐标系中的矢径。	$S_{y_0}$	滚刀测量齿高(任意点齿高)。
$\vec{r}_2$	刚体(或点)在 $\vec{x}$ 坐标系中的矢径。	$S_K$	拉刀分屑槽宽。
$r'$	工件齿形计算点计算节圆半径。	$T$	螺旋线的切线矢量。
$r''$	刀具节圆半径。	$T_t$	成形车刀法向刃形深; 成形铣刀轴向截面刃形 深(铲刀刃形深)。
$r_n$	(主截面内)刃口圆弧半径, 即切削刃钝圆半 径。	$T_t'$	成形车刀刃形组成点到基线的距离。
$r_c$	(基面内)刀尖圆弧半径。	$t_1$	成形车刀所加工的工件锥面段深。
$r_y$	工件任一点半径。	$t_{1'}$	键槽深。
$r_{y0}$	刀具任一点半径。	$v_{12}$	造型运动速度。
$r_a$	工件齿根圆角半径。	$v$	切削运动速度。主运动速度; 轴心到齿形切线 的距离。
$r_e$	工件齿顶圆角半径。	$v_o$	由于角速度 $\omega$ 产生的线速度。
$r_{e0}$	刀具齿根圆角半径。	$v_o$	移动运动速度。
$r_b$	工件基径。	$v_f$	进给运动速度。
$r_{b0}$	刀具基径。	$v_A$	安装运动速度。
$r_a$	工件外径。	$v_d$	对刀运动速度。
$r_{a0}$	刀具外径。	$v_T$	退刀运动速度。
$r_{ao}'$	新插齿刀外径。	$v_Q$	空行程运动速度。
$r_f$	工件内径(根径)。	$v_F$	分度运动速度。
$r_{f0}$	刀具内径(根径)。	$v_s$	合成切削运动速度; 实际切削运动速度。
$r_{oe}'$	新插齿刀节圆半径。	$v_t$	第 <i>i</i> 点的相对运动速度。
$r_e'$	新插齿刀加工时工件的节圆半径。	$v_P$	铲刀移动速度。
$r_{min}$	工件最小节圆半径; 工件成形面最小直径。	$W$	抗弯断面系数。
$r_H$	工件导圆柱半径。	$w_n$	断(卷)屑槽宽度。
$r_{Ho}$	刀具导圆柱半径。	$X$	移距。
$r_{ch}$	切屑卷曲半径。	$\vec{X}$	与工件相固连的坐标系, 它的三根轴为 $x_1$ ,
$r_K$	工件(渐开线)齿形工作部分最低点半径。		$x_2$ , $x_3$ , 或表示 $\vec{X}$ 坐标系中点的矢径, 它在 坐标轴上的投影为 $(x_1, x_2, x_3)$ 。
$r_B$	针轮半径。	$x$	变位(移距)系数。
$r_{AB}$	摆线轮外径。	$x_0$	刀具变位系数。
$r_{FB}$	摆线轮内径。		
$r_{Bb}$	针轮节圆半径。		
$r_{Bb}$	摆线轮节圆半径。		
$S$	转位车刀刀片厚度; 工件(齿轮)分圆齿厚。		
$S_0$	刀具分圆齿厚。		
$S_{\alpha}$	工件轴向分圆齿厚。		

$x_1$	端面变位系数。	角)。
$x_n$	法向变位系数。	$\alpha'$ 。副后角。
$x_{1i}, x_{2i}, x_{3i}$	第 <i>i</i> 点在坐标系 $\vec{X}$ 中的坐标(投影)。	$\alpha_{01}$ 消振棱或刃带的后角。
$\vec{Y}$	与刀具相固连的坐标系,它的三根轴为 $y_1, y_2, y_3$ ;或表示点在坐标系 $y$ 中的矢径,它的三个投影为( $y_1, y_2, y_3$ )。	$\alpha_a$ 任一刀截面内后刃。
$\vec{Y}_e$	与刀具相固连的动态坐标系,它的三根轴为 $y_{1e}, y_{2e}, y_{3e}$ ;或表示点在坐标系 $\vec{Y}_e$ 中的矢径,它的三个投影为( $y_{1e}, y_{2e}, y_{3e}$ )。	$\alpha_{ne}$ 工件法后角;工件法向齿形角。
$y_{1n}, y_{2n}, y_{3n}$	法向齿形坐标。	$\alpha_{ne}$ 刀具法向齿形角。
$y_{1x}, y_{2x}, y_{3x}$	轴向齿形坐标。	$\alpha_s$ 工件轴向齿形角。
$y_{1g}, y_{2g}, y_{3g}$	前刀面上刃形坐标。	$\alpha_{se}$ 刀具轴向齿形角。
$y_{1i}, y_{2i}, y_{3i}$	第 <i>i</i> 点在坐标系 $\vec{Y}$ 中的坐标(投影)。	$\alpha_t$ 工件端面齿形角;工件端面压力角。
$\vec{Z}$	辅助坐标系,它的三根坐标轴为 $z_1, z_2, z_3$ ;或表示坐标系 $\vec{Z}$ 中点的矢径,它的三个投影为( $z_1, z_2, z_3$ );刃截面与切削平面的交线矢量。	$\alpha_{te}$ 实际工作后角;动态后角。
$z$	工件齿数。	$\alpha_e$ 侧后角。
$z_0$	刀具齿数。	$\alpha_{12}$ 齿轮1与齿轮2的啮合角。
$z_D$	当量齿数。	$\alpha_{10}$ 工件(齿轮1)与刀具的啮合角。
$z_K$	容屑槽数。	$\alpha_{0i}$ 刀刃第 <i>i</i> 点处的主截面后角。
$z_b$	摆线轮齿数。	$\alpha_y$ 工件任一点齿形角;或任一点压力角。
$z_e$	针轮齿数;拉刀精切齿齿数。	$\alpha_{y0}$ 刀具任一点齿形角(刃形角)。
$z_t$	拉刀同时工作齿数。	$\alpha_{zy}$ 刀具任一点的轴向齿形角。
$z_{tmax}$	拉刀同时工作的最多齿数。	$\alpha_{yz}$ 工件任意直径( $dy$ )圆柱上端面压力角(齿形角)。
$z_c$	拉刀齿组中齿数。	$\alpha_{yv}$ 工件任意直径( $dy$ )圆柱上法向压力角(齿形角)。
$z_g$	拉刀校准齿齿数。	$\alpha_{ocv}$ 侧刃上任一点后角。
$z_{cv}$	拉刀圆孔齿每齿组中齿数。	$\alpha_P$ 可转位刀片的主截面后角,即垂直于刀片底面内的截面内后角;纵向( $P-P$ 截面)后角。
$z_{cn}$	拉刀花键齿每齿组中齿数。	$\alpha_{Pv}$ 纵向工作后角。
$z_2$	拉刀倒角齿齿数。	$\alpha_g$ 最大后角。
$z_3$	拉刀圆孔粗切齿齿数。	$\alpha_b$ 最小后角。
$z_5$	拉刀花键粗切齿齿数。	$\alpha_f$ 横向( $F-F$ 截面)后角;端面后角。
$z_{v2}$	拉刀圆孔精切齿齿数。	$\alpha_{gc}$ 转位车刀刀杆刀片槽最大前角所在截面内的安装后角。
$z_{yg}$	拉刀圆孔校准齿齿数。	$\alpha_{np}$ 可转位刀片的法后角。
$z_{tg2}$	拉刀花键精切齿齿数。	$\alpha_{e\mu}$ 安装所形成的车刀主截面后角。
$z_{wg}$	拉刀花键校准齿齿数。	$\alpha_{n\mu}$ 安装所形成的车刀法向后角。
$\alpha$	齿形角;压力角;啮合角;成形车刀的刃磨后角。	$\alpha_{0'\mu}$ 安装所形成的车刀副后角。
$\alpha_0$	主后角;刀具刃形角(刃形切线与 $y_1$ 轴的夹	$\alpha_{0g}$ 车刀主截面内刀片后角。
		$\alpha_{0'g}$ 车刀副截面内刀片后角。
		$\alpha_{f\mu}$ 任一点横向后角;任一点端面后角。任一点的径向后角。
		$\alpha_{f\mu}$ 安装的径向后角。
		$\alpha_{fg}$ 刀片径向后角。
		$\alpha_s$ 成形车刀的名义后角。
		$\alpha_e$ 顶刃后角;齿顶后角。

$\alpha_d$  刀垫后角。  
 $\alpha_{dL}$  外径处端面后角；外径处横向后角。  
 $\alpha_{dR}$  刀具左刃齿形角。  
 $\alpha_{dL2}$  刀具右刃齿形角。  
 $\alpha_{dL3}$  刀具左刃任一点齿形角。  
 $\alpha_{dLR}$  刀具有刃任一点齿形角。  
 $\alpha_{fR}$  刀具右刃横向后角。  
 $\alpha_{fL}$  刀具左刃横向后角。  
 $\alpha_{fer}$  刀具右刃横向工作后角。  
 $\alpha_{fel}$  刀具左刃横向工作后角。  
 $\alpha_{es}$  拉刀精切齿后角。  
 $\alpha_{eg}$  拉刀校准齿后角。  
 $\beta$  工件分圆螺旋角。  
 $\beta_g$  任一刀截面内楔角。  
 $\beta_a$  一般刀具外径螺旋角；齿轮刀具分圆螺旋角；车刀主截面楔角。  
 $\beta_s$  工件上与分圆同心的任意圆柱（半径 $dy$ ）上螺旋线的螺旋角，基面内车刀刃形切线与工件轴心线垂线间的夹角。  
 $\beta_f$  横向楔角；工件根圆柱上螺旋线螺旋角。  
 $\beta_{fe}$  横向工作楔角。  
 $\beta_n$  法向楔角。  
 $\beta_{ne}$  工作法向楔角。  
 $\beta_{nei}$  工作楔角（主截面内）。  
 $\beta_g$  纵向楔角。  
 $\beta_{ge}$  纵向工作楔角。  
 $\beta_b$  工件基圆螺旋角。  
 $\beta_b$  刀具基圆螺旋角。  
 $\beta_k$  刀具容屑槽分圆螺旋角。  
 $\beta'_k$  工件节圆齿厚对应的中心半角。  
 $\beta'_o$  刀具节圆齿厚对应的中心半角。  
 $\beta_{oi}$  刀具上 $i$ 点处螺旋角。  
 $\gamma$  工件螺纹升角；成形车刀刃磨前角；花键轴齿形角。  
 $\gamma_p$  刀具任一点前角。  
 $\gamma_{ocv}$  侧刃上任一点前角。  
 $\gamma_e$  刀具顶刃前角。工件顶圆上螺纹升角。  
 $\gamma_g$  任一刀截面内的前角。  
 $\gamma_f$  横向前角；端面前角；径向前角；工件根圆上螺纹升角。  
 $\gamma_{fe}$  横向工作前角；端面工作前角。  
 $\gamma_g$  最大前角；几何前角。  
 $\gamma_n$  法向前角。

$\gamma_{ne}$  法向工作前角。  
 $\gamma_o$  主截面前角。  
 $\gamma_{oe}$  实际主截前角。  
 $\gamma_{ei}$  倒棱前角；刃带前角。  
 $\gamma_p$  纵向前角。转位刀片的主截面前角（垂直于刀片底面的截面内刀片前角）。  
 $\gamma_{pe}$  纵向工作前角。  
 $\gamma_{op}$  车刀主截面内可转位刀片的前角；铲刀前角。  
 $\gamma_{od}$  车刀主截面内刀杆刀片槽前角。  
 $\gamma_{nb}$  转位刀片的法前角。  
 $\gamma_{go}$  刀杆刀片槽几何前角（最大前角）。  
 $\gamma_{gc}$  刀杆刀片槽纵向前角。  
 $\gamma_{fc}$  刀杆刀片槽横向前角。  
 $\gamma_{ty}$  任一点横向前角；任一点端面前角。  
 $\gamma_s$  成形车刀名义前角。  
 $\gamma_i$  刃形第 $i$ 点处端面（横向）前角。  
 $\gamma_{feL}$  左刃横向工作前角。  
 $\gamma_{feR}$  右刃横向工作前角。  
 $\gamma_{oc}$  刀杆刀片横主截面前角。  
 $\delta$  工件截形或齿形上点的极角（矢径与 $x_1$ 轴的夹角）；成形车刀基线与定位基面的夹角。齿轮端面齿形分圆半径对应的极角。  
 $\delta_o$  刀具截形或齿形上点的极角（矢径与 $y_1$ 轴的夹角）。  
 $\delta_g$  任一刀截面内的切削角。  
 $\delta_y$  工件截形或齿形上任一点矢径与 $x_1$ 轴的夹角。  
 $\delta_b$  渐开线齿形基圆上的点对应的极角。  
 $\epsilon$  拟合误差；代替误差。  
 $\epsilon_r$  刀尖角。  
 $\epsilon_{rp}$  刀片刀尖角。  
 $\epsilon_i$  第 $i$ 点处误差值。  
 $\eta$  合成切削速度角（主运动方向与合成速度方向之间的夹角）。  
 $\theta$  刀片嵌入角；齿槽角；拉刀齿背斜角。  
 $\theta_g$  渐开线齿形上任一点渐开角。  
 $\kappa_r$  主偏角。  
 $\kappa'_r$  副偏角。  
 $\kappa_{re}$  工作主偏角；动态主偏角。  
 $\kappa'_{re}$  工作副偏角；动态副偏角。  
 $\kappa_{re1}$  过渡刃偏角。  
 $\kappa_{ro}$  刀杆主偏角。  
 $\lambda_q$  齿轮刀具分圆或中径处螺纹升角；一般刀具外

$\lambda_s$	径处螺纹升角。	$\sigma_b$	抗拉强度。
$\lambda_{y_k}$	刀具任意圆柱上螺纹升角。	$[\sigma_b]$	许用拉应力。
$\lambda_s$	前刀面任意圆柱上螺纹升角。	$\sigma_{bc}$	抗压强度。
$\lambda'_s$	刃倾角（斜角）。	$\vec{\tau}$	表示切线方向。
$\lambda'_{sp}$	副刃倾角。	$\vec{\tau}_1$	刀具接触点处的单位切线矢量。
$\lambda_{se}$	工作刃倾角；动态刃倾角。	$\vec{\tau}_2$	工件接触点处的单位切线矢量。
$\lambda_{sp}$	可转位刀片的刃倾角；铲刀刃倾角。	$\tau$	工件齿形角（切线与 $x_2$ 轴的夹角）；断屑槽与主刃的倾斜角。
$\lambda'_{sp}$	车刀切削平面内的刀片刃倾角。	$\tau_0$	刀具刃形角（切线与 $y_2$ 轴的夹角）。
$\lambda_a$	螺旋齿刀具外径处螺纹升角。	$\tau_i$	成形车刀前刀面刃形深。
$\lambda_f$	螺旋齿刀具根圆（内径）处螺纹升角。	$\tau_s$	屈服强度。
$\lambda_b$	螺旋齿刀具基圆处螺纹升角；垂直斜装成形车刀的刃倾角。	$\Phi$	表示坐标变换矩阵。
$\lambda_i$	滚刀齿形法线与工件轴线的夹角。	$\varphi$	（工件）转角；齿间角。
$\lambda_{e_2}$	刀杆刀片槽的刃倾角。	$\varphi_0$	（刀具）转角；圆锥齿轮节锥角。
$\mu$	摩擦系数。	$\varphi_i$	基面内刀刃上第 $i$ 点处的切线与刀具端面的夹角。
$\xi_y$	工件齿形（截形）任一点的矢径与切线正面的夹角。	$\varphi_y$	渐开线任一点的展开角。
$\rho$	工件截形或齿形半径；工件截形或齿形曲率半径；固体成形车刀刃磨控制圆半径。	$\psi$	在定坐标系 $\bar{A}$ 中，齿形切线与 $a_z$ 轴的夹角，表示坐标变换矩阵。
$\rho_0$	刀具截形或齿形半径或曲率半径。	$\psi_\alpha$	切屑流出方向角（流屑角）。
$\rho_1$	原始刀具面截形接触点处曲率半径。	$\psi_\gamma$	余偏角。
$\rho_2$	工件截形接触点处曲率半径。	$\psi^{-1}$	$\psi$ 的逆矩阵。
$\rho_D$	相对曲率半径；诱导曲率半径。	$\omega$	角速度的模（大小）；端铣刀刀槽斜角。
$\rho_k$	工件齿形最低点（开始点）曲率半径。	$\vec{\omega}_1$	动标 $y$ 的回转角速度。
$\Sigma$	两矢量的夹角；轴交角；成形车刀径向刃磨角。	$\vec{\omega}_2$	动标 $X$ 的回转角速度。
$\Sigma_e$	成形车刀侧向刃磨角。	$\vec{\omega}$	相对角速度。
$\sigma$	断屑台楔角。	$\omega_k$	拉刀狭分屑槽槽形角。
$\sigma_{bb}$	抗弯强度。		

# 目 录

## 第一篇 刀具设计原理

第一章	造型原理	1
§ 1-1	切削运动学的基本概念	1
§ 1-2	运动方程式	3
§ 1-3	工件表面的形态	6
一、	工件表面的方程	6
二、	工件表面的法线矢量	10
§ 1-4	相对运动速度	14
一、	运动学的基本原理	14
二、	刚体(点)的运动速度	16
三、	两动标的相对运动速度	17
四、	法线的运动	20
§ 1-5	造型条件	21
一、	第一造型条件——相切接触条件	21
二、	第二造型条件——互不干涉条件	24
§ 1-6	造型时的两类界限点	26
一、	过切界限点	26
二、	造型界限点	29
§ 1-7	切削刃的形成	32
一、	原始刀具面任意截面的截形	33
二、	原始刀具面与螺旋面的交线	36
三、	原始刀具面与圆锥面的交线	38
四、	用截面法求刀具刃形	43
§ 1-8	刃形曲线的拟合	43
一、	线性拟合	44
二、	圆弧拟合	47
三、	均匀近似原理	61
§ 1-9	切削图形与刃形设计	63
一、	切削图形(切削方式)的选择	68
二、	刃形设计	73
§ 1-10	应用实例: 齿条刀的造型	73
一、	已知工件齿形求齿条刀的齿形	74
二、	已知齿条刀齿形求它所加工的工件齿形	77

三、	齿条刀加工的过渡曲线	78
四、	齿条刀加工的两类界限点	82
第二章	刀具切削参数的选择与计算	92
§ 2-1	定义切削角度的基本参数	92
一、	反映结构特征的主要参数	92
二、	反映运动特征的主要参数	93
三、	三个坐标面	93
四、	一些辅助参数	93
§ 2-2	刀具切削角度的定义	95
一、	刀刃每一点的切削性能	95
二、	切削角度的矢量定义	96
§ 2-3	刀具角度的换算	98
一、	角度换算的基本公式	98
二、	应用实例	102
§ 2-4	切削加工时的切削角度	112
一、	动态切削角度的定义及计算	112
二、	应用实例	115
§ 2-5	刀具切削参数选择的一般原则	118
§ 2-6	刀具切削角度的选择	119
一、	前角 $\gamma_\theta$	119
二、	后角 $\alpha_\theta$	121
三、	主偏角 $K_\gamma$	123
四、	副偏角 $K'_\gamma$	126
五、	斜角(刃倾角) $\lambda_s$	126
§ 2-7	主截面内刃口形状的选择	129
一、	锐刃	129
二、	倒棱刃	129
三、	消振棱刃	130
四、	白刃	130
五、	圆刃	130
§ 2-8	前刀面形状及断屑槽形	131
一、	断屑型	131
二、	卷屑型	133

三、流屑型	133	四、模块式	185
四、精整型	133	五、上压式	187
§ 2-9 基面内刀尖的形状	133	六、结构设计特点	187
一、尖头	133	§ 4-5 转位车刀的品种及代号	189
二、圆头(圆弧过渡刃)	134	§ 4-6 设计程序与实例	193
三、直线过渡刃	134	<b>第五章 成形车刀的设计与计算</b>	197
四、具有修光刃	134	§ 5-1 成形车刀的分类及特点	197
§ 2-10 切削参数的组合应用	134	一、分类	197
一、如何提高生产率	134	二、特点	198
二、如何提高刀具耐用度和使用寿命	138	§ 5-2 成形车刀的切削角度	198
三、关于减小振动的问题	139	§ 5-3 刀形的计算	202
四、提高工件表面光洁度的问题	140	一、造型原理	202
五、如何消除积屑瘤的影响	143	二、刀形的计算	202
六、切屑的控制问题	144	§ 5-4 成形车刀的结构设计	210
七、如何加工特种材料	149	§ 5-5 成形车刀的公差, 技术条件及样板	213
<b>第三章 刀具设计的其它问题</b>	153	一、技术条件及公差	213
§ 3-1 刀具材料的选择	153	二、成形车刀的样板	215
一、对刀具切削部分材料的基本要求	153	§ 5-6 各类径向进给成形车刀的设计计算特点与实例	216
二、刀具材料的种类及特征	154	一、普通成形车刀	216
三、刀具材料的选用原则	157	二、带刃倾角的成形车刀	219
§ 3-2 结构设计原则	158	三、水平斜装的成形车刀	221
<b>第二篇 刀具的设计与计算</b>			
<b>第四章 可转位车刀的设计与计算</b>	164	四、垂直斜装的成形车刀	229
§ 4-1 刀片可转位车刀的特点	164	五、螺旋后刀面成形车刀	233
一、什么是刀片可转位车刀	164	§ 5-7 切向进给成形车刀	237
二、可转位车刀的优越性	164	一、切线成形车刀的工作原理	237
§ 4-2 刀片的选择	165	二、切线成形车刀的特点	237
一、刀片外形的选择	165	三、切线成形车刀的设计实例	241
二、刀片厚度 $S$ 的确定	168	<b>第六章 可转位端铣刀的设计与计算</b>	245
三、刀尖圆弧半径 $r$ 的确定	168	§ 6-1 可转位端铣刀的特点	245
四、断屑槽的型式及选用	169	§ 6-2 端铣刀的切削角度	245
五、刀片代号	170	§ 6-3 可转位端铣刀的刀片	249
§ 4-3 切削角度的计算	173	§ 6-4 端铣刀的结构设计	251
一、切削角度的形成原理	174	一、主要结构形式	251
二、切削角度的相互关系	174	二、尺寸系列	253
§ 4-4 结构设计	179	三、主要结构元件尺寸的计算	254
一、螺钉偏心销式	179	§ 6-5 可转位端铣刀设计计算程序	256
二、扛销式	180		
三、曲柄杠杆式	181		

<b>第七章 成形铣刀的设计与计算</b>	265	<b>§ 8-8 已知刀具刃形求所加工的工件形状</b>	349
§ 7-1 造型原理	265	一、盘状刀具加工的工件	349
§ 7-2 铣齿成形铣刀的侧后角	269	二、指状刀具加工的工件	351
§ 7-3 铣齿成形铣刀刃形的计算	273	<b>§ 8-9 计算程序与实例</b>	353
一、前刀面刃形	274	一、加工阿基米德蜗杆的盘状刀具刃形的计算	353
二、轴向截面刃形	275	二、加工渐开线斜齿轮及蜗杆的刀具刃形计算	364
§ 7-4 设计计算程序与实例	277	三、加工摆线螺旋泵的刨刀刃形的计算	376
§ 7-5 成形铣刀铲磨用砂轮截形的计算	293	<b>第九章 拉力设计与计算</b>	379
一、已知参数	293	§ 9-1 概述	379
二、砂轮截形的计算原理	294	一、拉削特点	379
三、砂轮截形的计算程序	295	二、拉刀的结构及各部分的作用	380
§ 7-6 渐开线齿轮铣刀的设计与计算	297	三、拉刀切削部分的主要参数	381
一、齿轮铣刀渐开线齿形的计算	298	§ 9-2 粗切齿的设计原则	382
二、铣刀齿顶设计	299	一、拉削余量的确定	382
三、齿轮铣刀的设计计算程序	306	二、齿升量 $a_f$	383
四、设计计算例	306	三、齿距 $p_{\phi 0}$	384
<b>第八章 加工螺旋面的刀具刃形的计算</b>	318	四、容屑槽设计	384
§ 8-1 盘状刀具的造型原理	318	五、切削角度	387
一、计算盘状刀具刃形的通用程序	318	六、分屑槽	387
二、根据工件端面截形参数求刀具刃形	322	七、拉床动力及拉刀强度校验	390
§ 8-2 指状刀具及刨刀的造型特点	327	§ 9-3 精切齿的设计原则	392
一、指状刀具	327	一、精切余量 $A_s$	392
二、螺旋面刨刀	328	二、齿升量 $c f_z$	392
§ 8-3 刀具刃形的计算	330	三、齿数 $Z_g$	392
§ 8-4 造型方程的分析	331	四、齿距及容屑槽参数	393
一、当 $ n_2  >  n_1 $ 时	332	五、分屑槽	393
二、当 $ n_2  <  n_1 $ 时	333	六、精切齿的切削角度	393
三、当 $ n_2  =  n_1 $ 时	334	§ 9-4 校准齿的设计原则	394
§ 8-5 安装参数的选择	335	一、校准齿齿数 $Z_g$	394
一、中心距和轴交角选择的一般原则	335	二、齿距 $p_{\phi 0g}$	394
二、工作为凹型螺旋面时，安装参数的选择特点	336	三、切削参数	394
三、根据刀具耐用度要求选择安装参数	340	四、拉刀刀齿横截面尺寸的排列原则	395
四、几种特殊情况	342	§ 9-5 其它部分设计	396
§ 8-6 干涉现象及检验	344	一、柄部的型式及尺寸	396
§ 8-7 刀具刃形设计	348	二、前导部分	396
		三、颈部及引导锥部	397
		四、后导部分	397

五、拉刀两端的中心孔	397	§ 10-3 直槽正前角渐开线齿轮滚刀的设计	550
六、拉刀的总长	398	一、渐开线齿轮滚刀的基本蜗杆	550
七、压光齿的设计	398	二、直槽正前角阿基米德滚刀的齿形	563
§ 9-6 拉刀设计计算程序与实例	399	§ 10-4 矩形齿花键轴滚刀齿形的计算	576
§ 9-7 花键拉刀的设计特点	434	一、齿形计算特点	576
一、花键拉刀的形式	434	二、螺旋齿花键轴滚刀轴向齿形的计算	577
二、花键齿的设计特点	435	三、直齿矩形花键轴滚刀齿形的计算	580
三、倒角齿的设计特点	437	§ 10-5 摆线针轮滚刀齿形的计算	605
四、复合花键拉刀的圆孔齿设计特点	439	一、摆线轮的齿形	605
五、前导部分和后导部分	440	二、滚刀齿形的计算	607
六、花键拉刀的设计计算程序与实例	440	§ 10-6 钟表齿轮滚刀齿形的计算	619
§ 9-8 渐开线花键拉刀	456	一、钟表齿形及其参数	619
一、设计渐开线拉刀的原始数据	456	二、钟表齿轮滚刀齿形的计算特点	621
二、拉刀形式	456	三、钟表齿轮滚刀的结构尺寸与技术要求	622
三、拉削力	456	四、计算例	622
四、齿升量	457	第十一章 插齿刀的设计与计算	641
五、齿形设计	457	§ 11-1 插齿刀的造型原理	641
六、前导部分设计	457	一、插齿时的造型方程式	641
七、减少渐开线齿形摩擦的措施	462	二、插齿时的造型线及插齿刀齿形方程	644
<b>第十章 滚刀的设计与计算</b>	<b>475</b>	§ 11-2 插齿时的过渡曲线与过切	647
§ 10-1 滚刀的造型原理	475	一、已知插齿刀的齿形求它所加工的工作齿形	647
一、按平面啮合原理计算滚刀齿形	475	二、插齿时的过渡曲线	648
二、按奥利弗原理计算滚刀齿形	478	§ 11-3 插齿时安装参数的确定	653
三、按螺旋齿轮啮合原理计算滚刀齿形	485	§ 11-4 插齿刀的切削角度及原始截面	656
四、按空间齿形法线法计算滚刀齿形	497	一、切削角度	656
五、滚刀切削刃的方程	504	二、插齿刀的原始截面	657
六、滚切的两类界限点	510	§ 11-5 插齿刀的设计计算程序与实例	661
七、计算参数的确定	514	一、矩形齿花键轴插齿刀的设计	661
八、滚刀齿形的设计计算程序	522	二、矩形齿花键孔插齿刀的设计	668
§ 10-2 滚刀结构参数设计原则	537	三、摆线针轮插齿刀齿形的计算	674
一、外径 $d_{\text{外}} = 2r_{\text{外}}$	537	<b>附录</b>	680
二、滚刀长度 $L_o$	537	附表 1 特殊函数值	680
三、滚刀容屑槽及圆周齿数 $Z_K$	541	附表 2 度数与弧度的转换表	682
四、滚刀切削角度	541	附表 3 度数与分、秒的换算表	683
五、滚刀节圆直径 $d_o = 2r_o$	543	附表 4 $\theta \cdot \csc \theta$ 值	685
六、滚刀的主要技术条件	544	主要参考文献	691

# 第一篇 刀具设计原理

金属切削刀具的设计要解决五个基本问题：

一、根据工件的形状及工件与刀具的相对运动，决定刀具切削刃的形状，或根据刀具切削刃的形状及刀具与工件的相对运动，求所加工出的工件形状，即造型问题。

二、切削参数（切削角度、刃口形状及刀面的形态特征等）的选择与计算，使之有较好的切削性能。

三、设计合理的结构，使之小巧玲珑，经济实用，并有利于采用标准化、系列化和通用化。

四、选择合适的材料，使之有尽可能高的生产效率和耐用度。

五、编制设计通用程序，以便使用电子计算机进行辅助设计和选择最佳设计方案。

本书将围绕这五个基本问题，进行详细讨论与分析。

## 第一章 造型原理

### § 1-1 切削运动学的基本概念

金属切削加工，从运动学的观点来看，就是刀具与工件（毛坯）的相对运动。在这个相对运动过程中，形成工件所要求的形状及其精度（尺寸精度及表面质量）。

切削加工过程中，一般有以下运动  
(以车削蜗杆为例，见图 1-1-1)：

#### 一、主运动 $v$

它是切下切屑以形成工件新表面的基本运动。车削蜗杆螺旋面时，主运动是蜗杆（毛坯）的回转运动  $v_w$  与车刀轴向移动  $v_t$  的合成运动 ( $\vec{v} = \vec{v}_w + \vec{v}_t$ )。

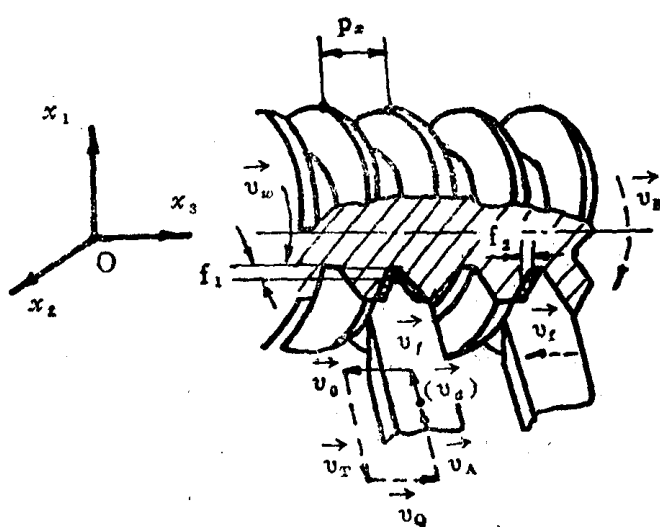


图 1-1-1

## 二、进给运动（走刀运动） $\vec{v}_f$

它是不断地将毛坯上新的金属层投入切削，逐渐地切出整个工件表面的运动。若有几个方向的进给运动，则 $\vec{v}_f$ 是各方向进给运动的合成运动。

$$\vec{v}_f = \vec{v}_{f1} + \vec{v}_{f2} + \vec{v}_{f3} \quad (1-1-1)$$

式中  $\vec{v}_{f1}$ ,  $\vec{v}_{f2}$ ,  $\vec{v}_{f3}$ ——分别为沿 $x_1$ ,  $x_2$ ,  $x_3$ 各轴线方向的进给运动。

车削蜗杆，可以有两种进给方式：一种是垂直蜗杆轴线的横向进给，它是间断进行的；一种是沿蜗杆轴线的纵向进给（如图 1-1-1 中所示，对于后一种进给方式， $\vec{v}_f$ 与 $\vec{v}_0$ 是一致的）。

## 三、造型运动 $\vec{v}_{12}$

它是形成工件表面特征参数的运动。对车削蜗杆来说，就是形成蜗杆螺旋面（螺旋参数或螺距）的运动，显然， $\vec{v}_u$ 与 $\vec{v}_0$ 的合成运动也同时就是造型运动。

## 四、安装运动 $\vec{v}_4$

它是加工前把刀具切削刃引向工件，使工件与切削刃处于一定的相互接触位置，以便能开始正常切削的运动。

## 五、吃刀（对刀）运动 $\vec{v}_e$

把刀具切削刃切入工件体内的运动，以便能切除一定的金属层。对车削蜗杆来说 $\vec{v}_e$ 与横向进给运动 $\vec{v}_f$ 是一致的。

## 六、退刀运动 $\vec{v}_T$

一次切削行程之后，使刀具与工件脱离接触的运动。

## 七、空行程运动 $\vec{v}_0$

一次切削行程之后，使刀具回到下次行程的初始位置的运动。

## 八、分度运动 $\vec{v}_F$

它也是形成工件表面特征参数的运动，是造型运动的一种特殊形式。车削多头蜗杆时，为了形成多头蜗杆的螺旋面，就需要分度运动。

一般说，加工任何工件都具有这八种运动。只是在具体情况下，一个运动起几个运动的作用，或几个运动合成为一个运动，而有的运动则不需要。当然，为了加工出所需形状及精度的工件，要求的运动越少、越简单越好。

根据工件形状的特征，所采用的加工方法及机床——工件——刀具系统的联系形式，上